
Chromodynamika kwantowa w warunkach ekstremalnych

Krzysztof Golec-Biernat

Oddział Fizyki Teoretycznej NZ41

IFJ PAN, 23 maja 2013 r.

Plan

- Chromodynamika kwantowa (QCD)
- Struktura chromodynamiczna nukleonu
- QCD dla dużych gęstości partonowych w eksperymentach na LHC

Wstęp

- Elektrodynamika kwantowa - 1949
- Model Weinberga-Salama - 1967
- Chromodynamika kwantowa - 1973

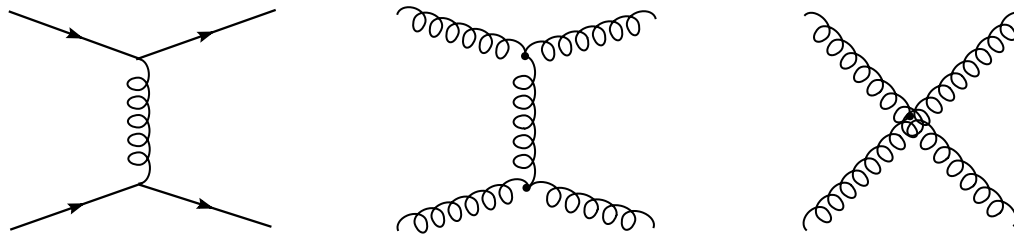
Kwantowe teorie pola z lokalną symetrią cechowania:

$$U_Y(1) \otimes SU_L(2) \otimes SU_c(3)$$

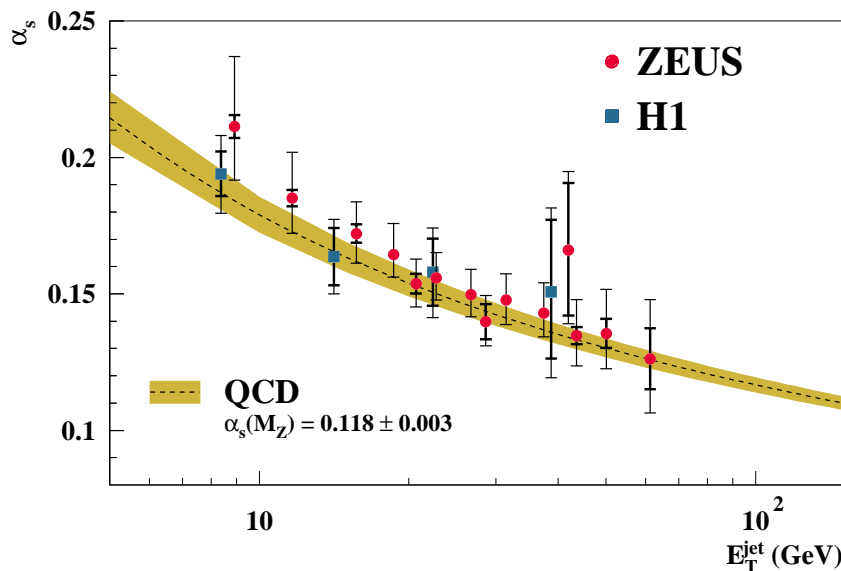
- Supersymetria (model Wessa-Zumino) - 1973 ???
- Teoria strun - 1984 ???

Chromodynamika kwantowa

- Kwanty to kolorowe kwarki o spinie 1/2 i gluony o spinie 1.



- Asymptotyczna swoboda (Gross, Wilczek, Politzer, 73)



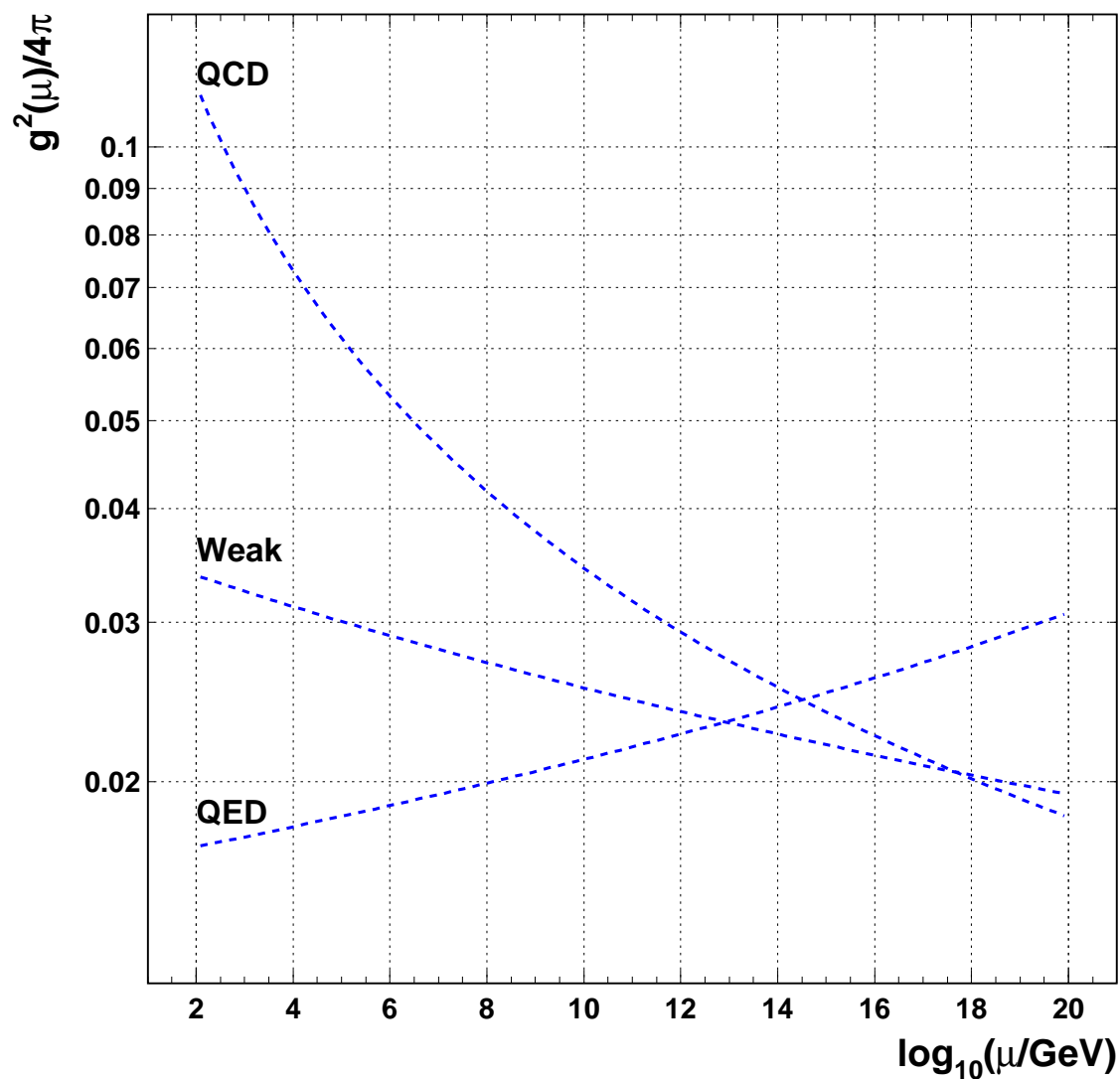
"Stała" sprzężenia silnego:

$$\alpha_s(\mu) = \frac{b}{\ln(\mu^2/\Lambda_{QCD}^2)}$$

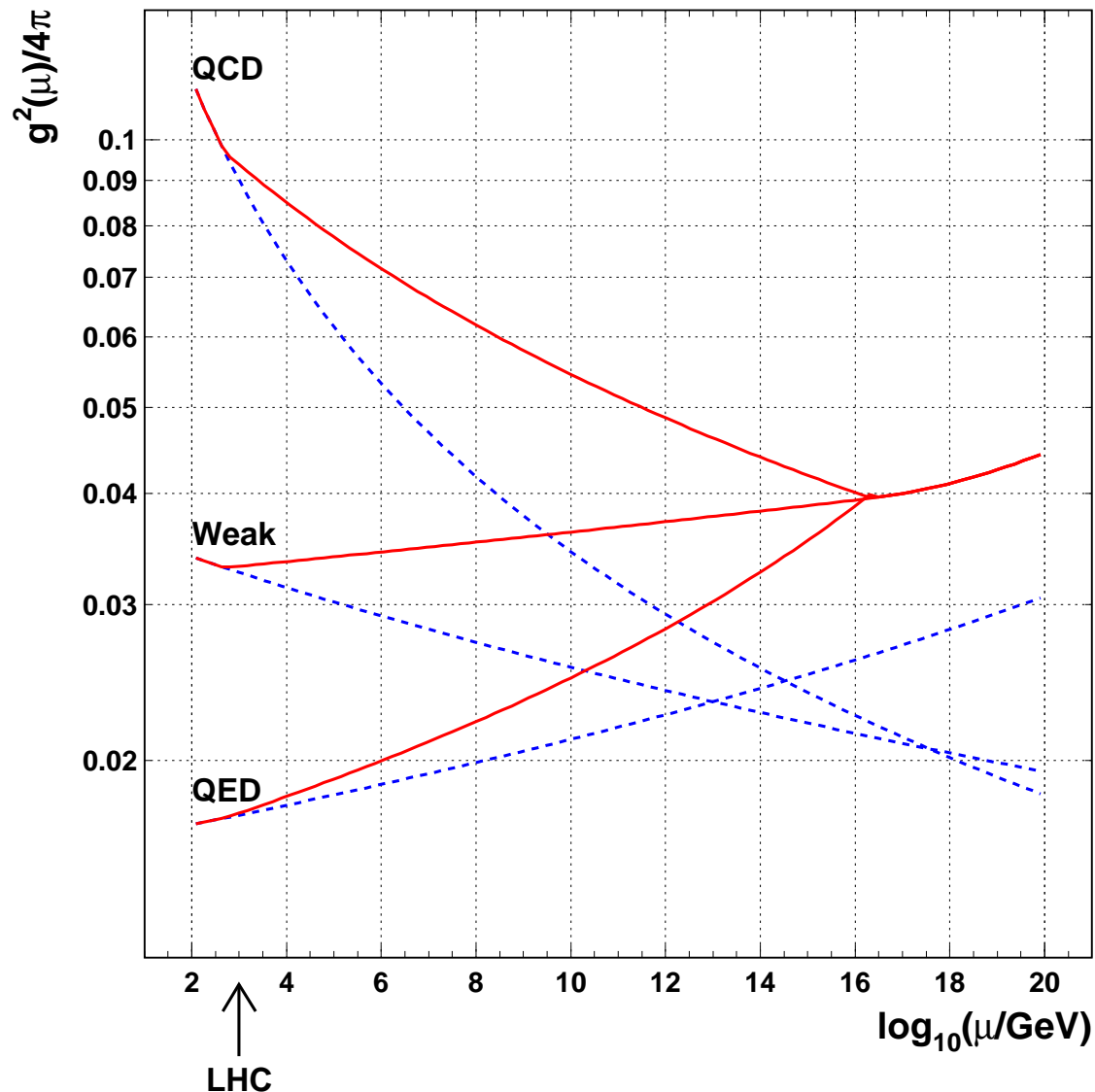
Skala: $\Lambda_{QCD} \simeq 200$ MeV

- Uwięzienie na dużych odległościach (~ 1 fm)

Unifikacja oddziaływań



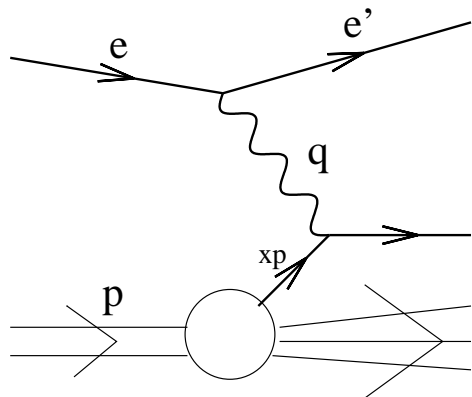
Unifikacja oddziaływań



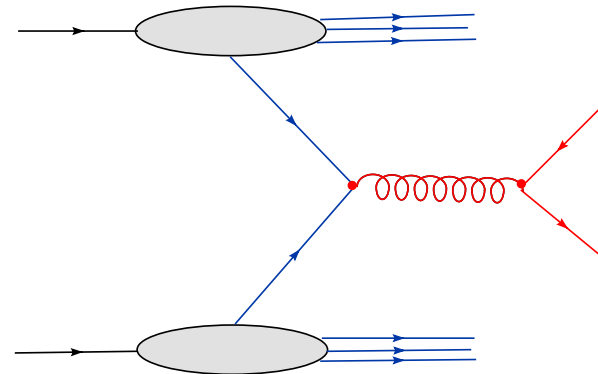
- Supersymetria ratuje unifikację.

Procesy z twardą skalą

- Kwarki i gluony "widziane" poprzez procesy z twardą: $Q \gg \Lambda_{QCD}$



$$\text{DIS: } Q = \sqrt{-q^2}$$



$$pp: \quad Q = E_T$$

- Przekrój czynny:

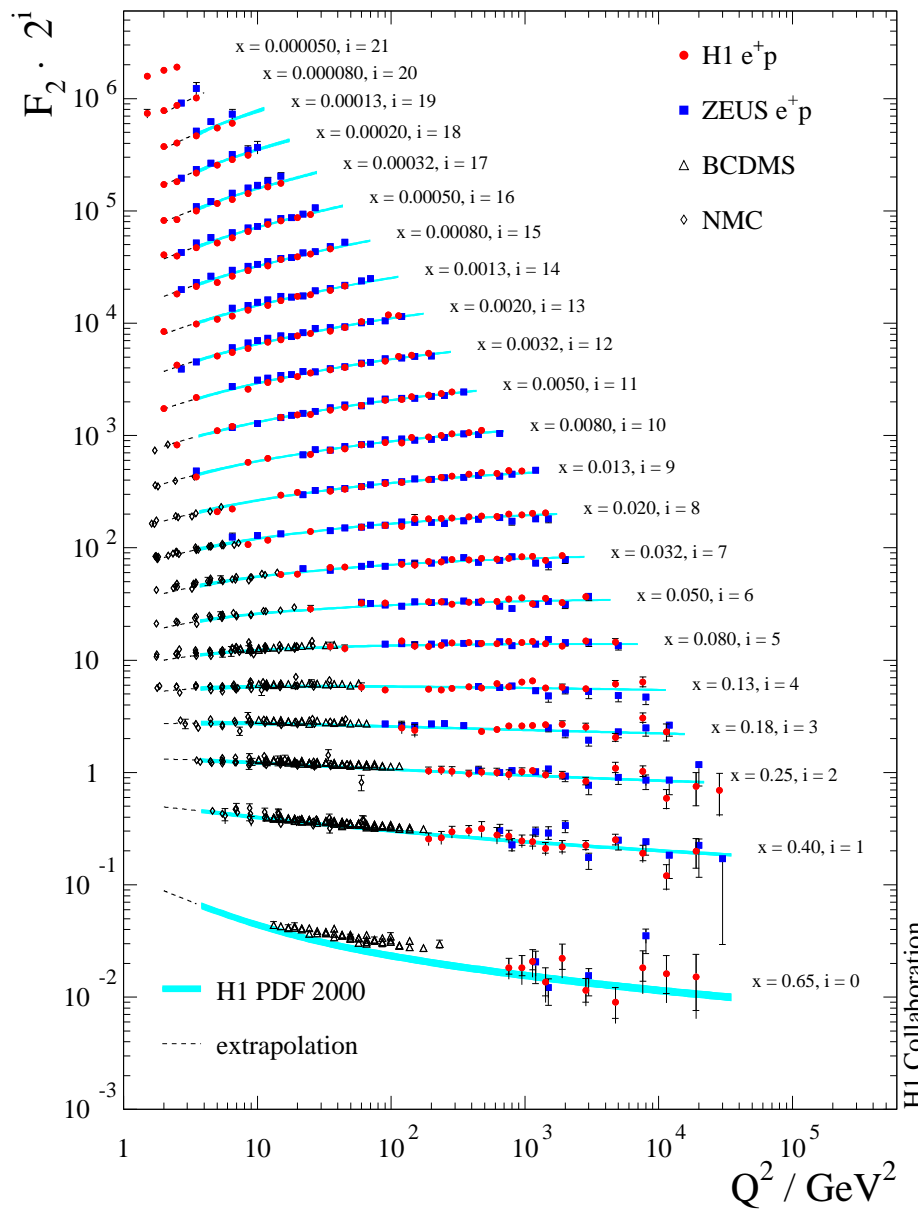
$$\sigma_{AB} = \sum_{a,b} \int dx_a dx_b f_a(x_a, Q) \{\hat{\sigma}_0 + \alpha_s(Q) \hat{\sigma}_1 + \dots\} f_b(x_b, Q)$$

- Gęstości partonowe - kwarkowe i gluonowe: $f_a = (q_f, G)$

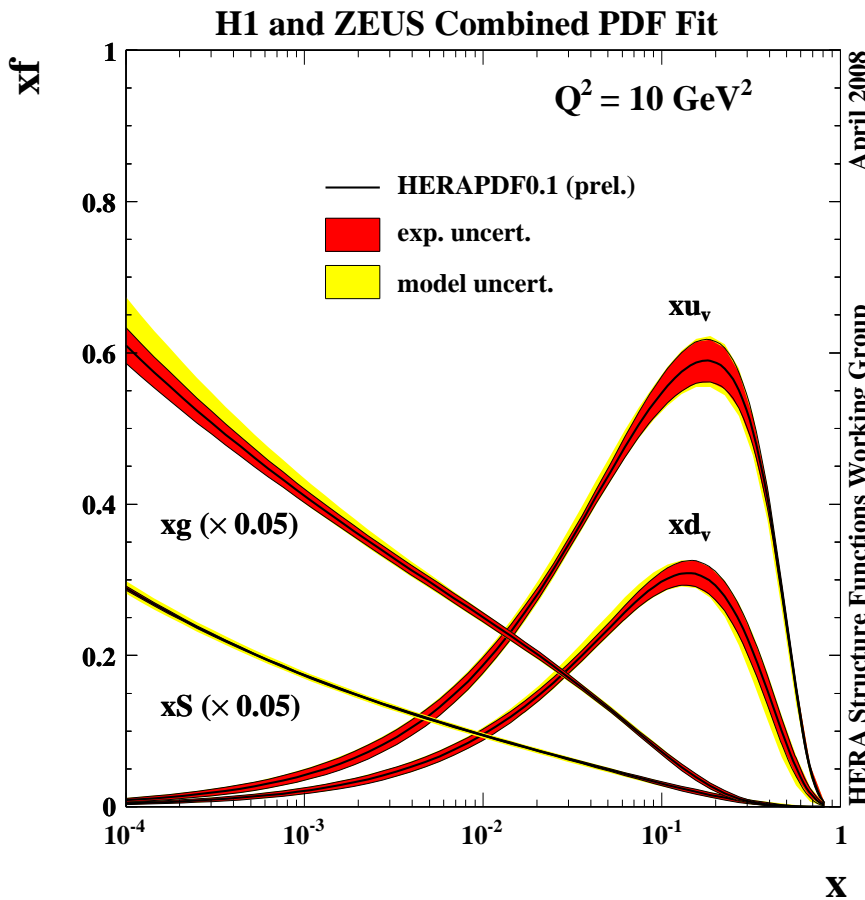
Twarde procesy

H1, ZEUS	$F_2^{e^+ p}(x, Q^2), F_2^{e^- p}(x, Q^2)$ NC + CC
BCDMS	$F_2^{\mu p}(x, Q^2), F_2^{\mu d}(x, Q^2)$
NMC	$F_2^{\mu p}(x, Q^2), F_2^{\mu d}(x, Q^2), F_2^{\mu n}(x, Q^2)/F_2^{\mu p}(x, Q^2)$
SLAC	$F_2^{e^- p}(x, Q^2), F_2^{e^- d}(x, Q^2)$
E665	$F_2^{\mu p}(x, Q^2), F_2^{\mu d}(x, Q^2)$
CCFR, NuTeV, CHORUS	$F_2^{\nu(\bar{\nu})N}(x, Q^2), F_3^{\nu(\bar{\nu})N}(x, Q^2)$ → q, \bar{q} at all x and g at medium, small x
H1, ZEUS	$F_{2,c}^{e^\pm p}(x, Q^2), F_{2,b}^{e^\pm p}(x, Q^2) \rightarrow c, b$
E605, E772, E866	Drell-Yan $pN \rightarrow \mu\bar{\mu} + X \rightarrow \bar{q} (g)$
E866	Drell-Yan p, n asymmetry → \bar{u}, \bar{d}
CDF, D0	W^\pm rapidity asymmetry → u/d ratio at high x
CDF, D0	Z^0 rapidity distribution → u, d
CDF, D0	inclusive jet data → g at high x
H1, ZEUS	DIS + jet data → g at medium x
CCFR, NuTeV	dimuon data → strange sea s, \bar{s}

Łamanie skalowania $F_2(x, Q^2)$

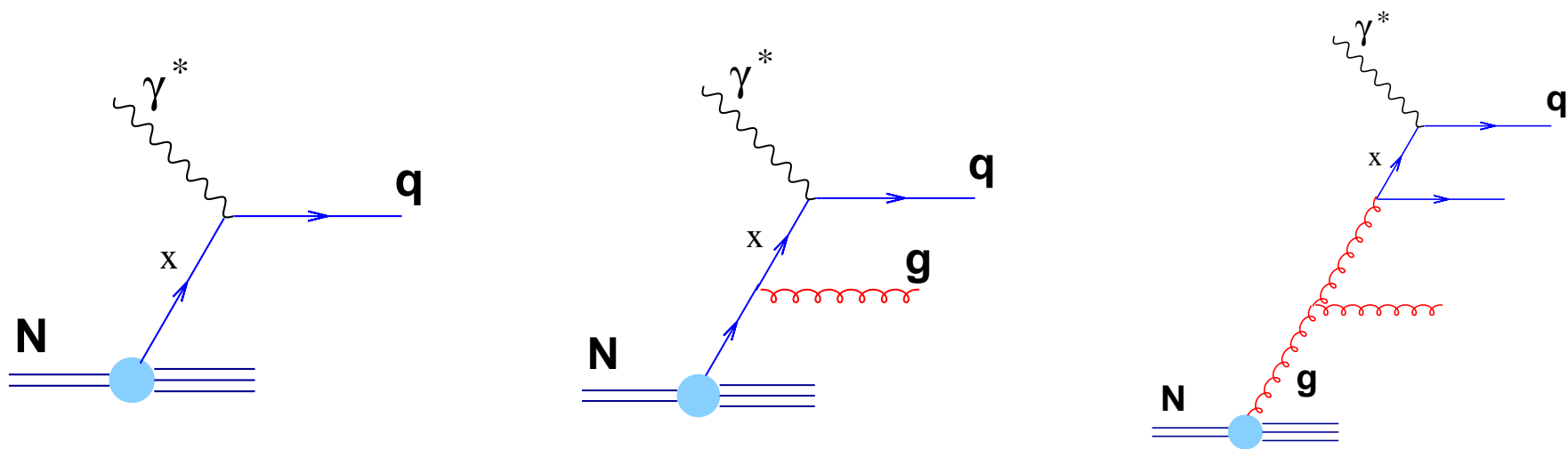


Rozkłady partonowe



- Gluony niosą połowę pędu nukleonu.
- Powolne gluony $x \approx 0$ dominują strukturę nukleonu.

Równania ewolucji Altarelliego-Parisiego (DGLAP)



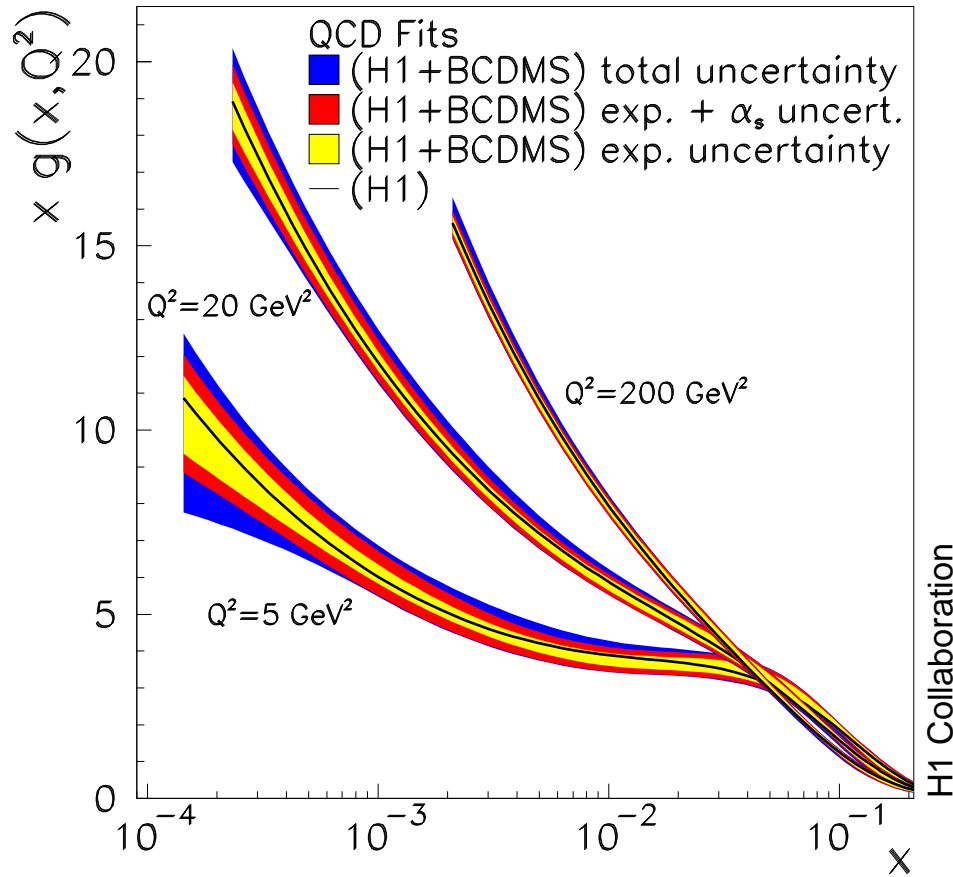
- QCD przewiduje zmianę gęstości partonowych z skalą Q

$$\frac{\partial q_f}{\partial \ln Q^2} = P_{qq} \otimes q_f + P_{qG} \otimes G$$

$$\frac{\partial G}{\partial \ln Q^2} = P_{GG} \otimes G + P_{Gq} \otimes \sum_f q_f$$

- Fit rozkładów początkowych $q_f(x, Q_0)$, $G(x, Q_0)$ do danych.

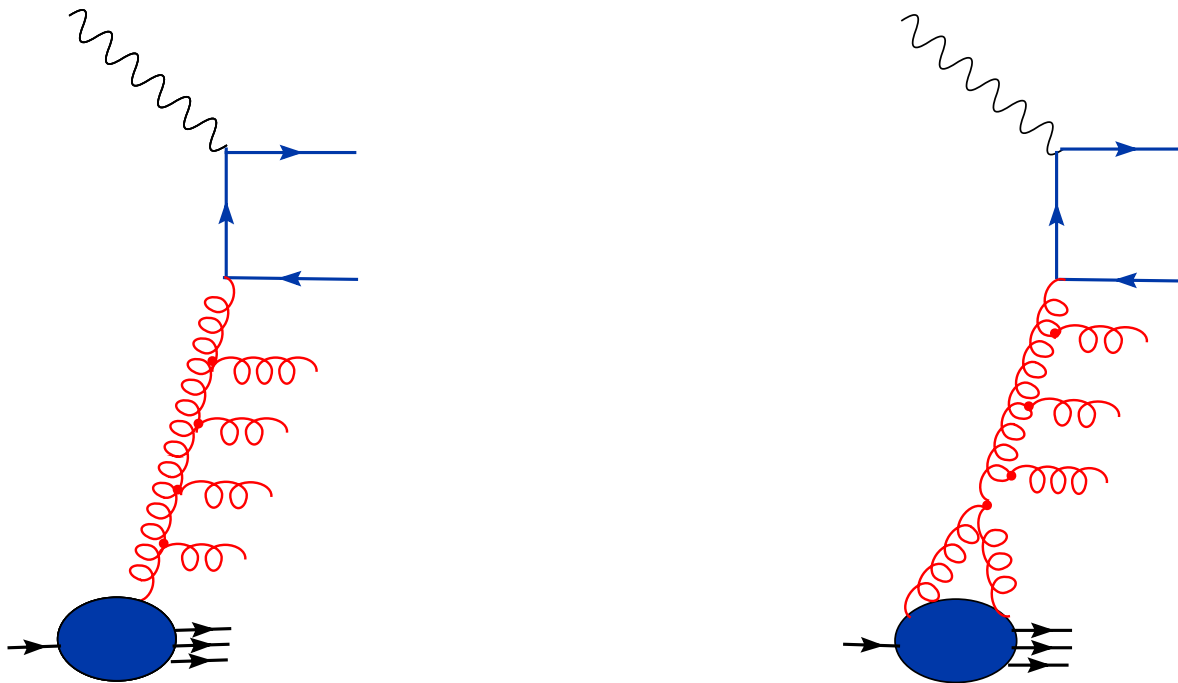
Rozkłady gluonów



- Silny wzrost gęstości gluonów dla $x \rightarrow 0$.

Chromodynamika dla dużych gęstości partonowych

- Gluony **rekombinują** hamując wzrost gęstości gluonów dla $x \rightarrow 0$

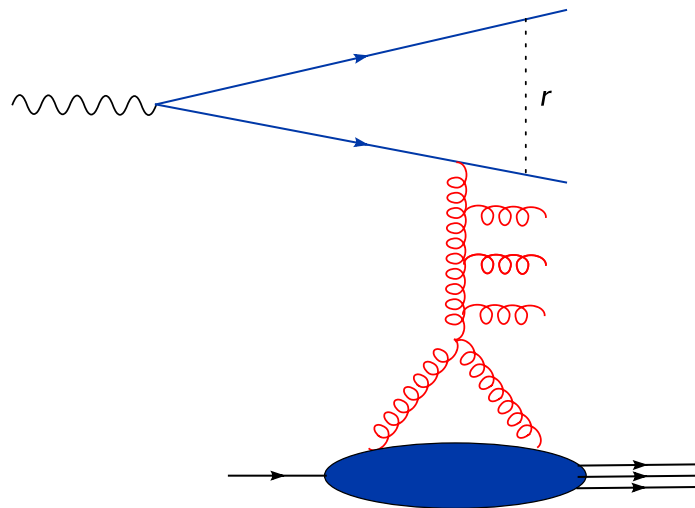


- Nieliniowe równania ewolucji (*Gribov, Levin, Ryskin, 83*)

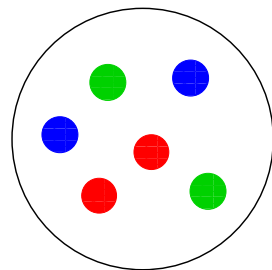
$$\frac{\partial G}{\partial \ln Q^2} = P_{GG} \otimes G - V_{GGG} \otimes G^2$$

Obraz dipolowy

- Dipol kwarkowy sonduje gęsty układ gluonowy w nukleonie

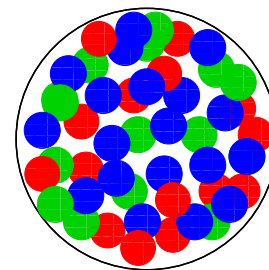


- To co widzi zależy od energii s : $x = Q^2/s$



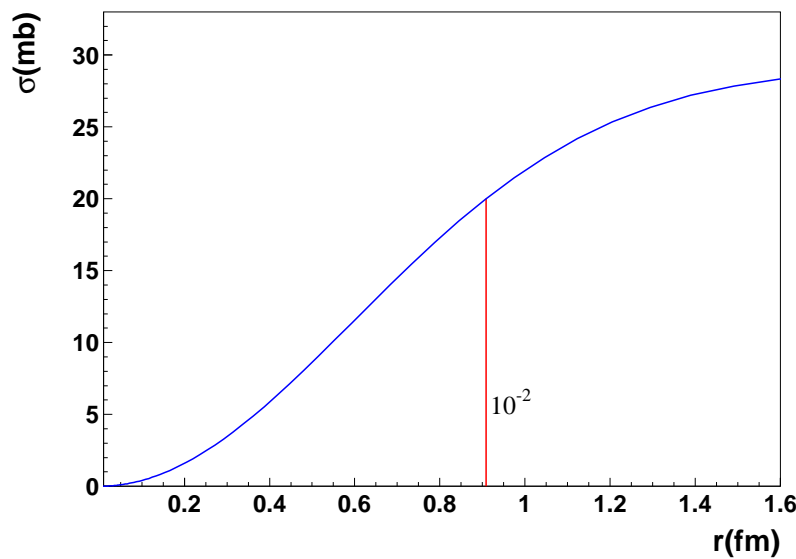
$$x=10^{-2}$$

DIPOL

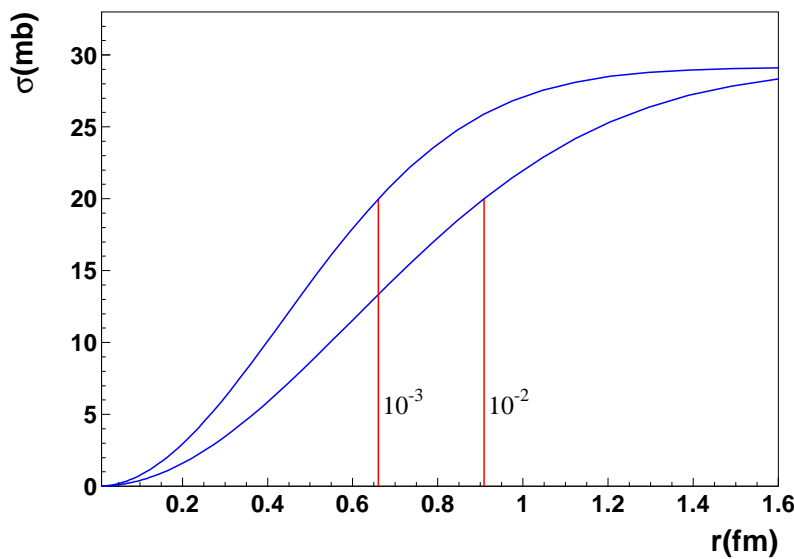


$$x=10^{-5}$$

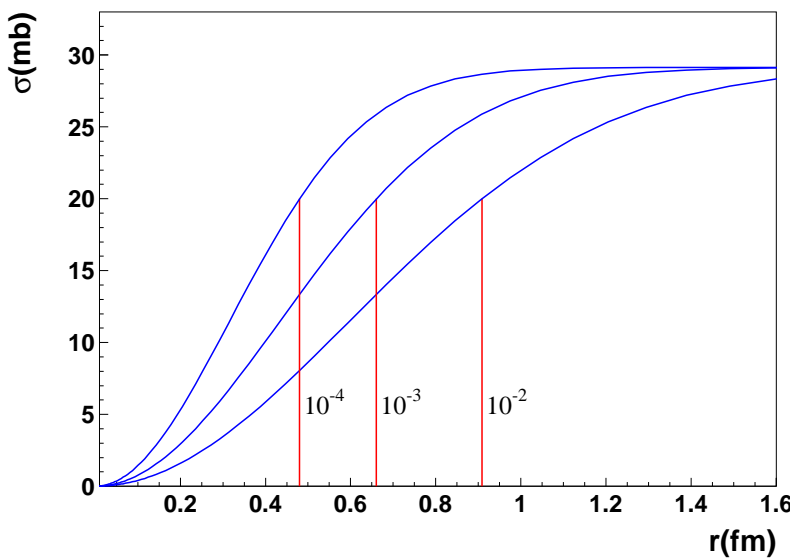
Amplituda oddziaływania dipola $N(x, r)$



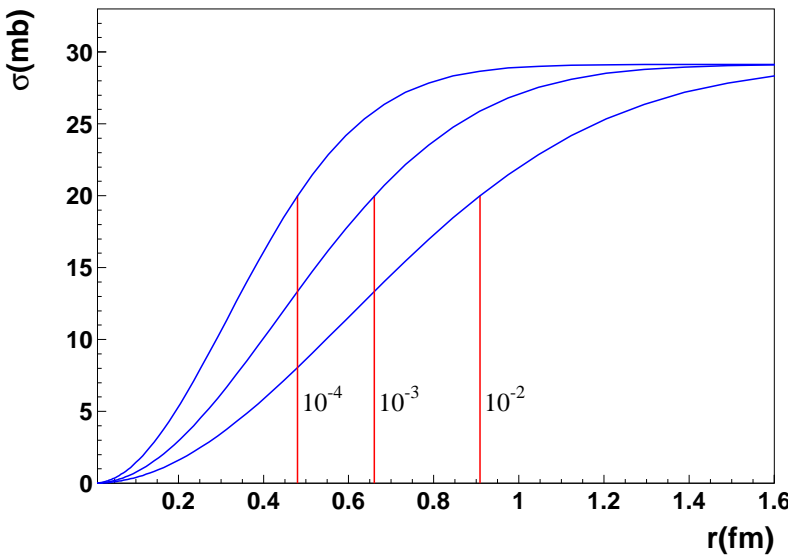
Amplituda oddziaływania dipola $N(x, r)$



Amplituda oddziaływania dipola $N(x, r)$



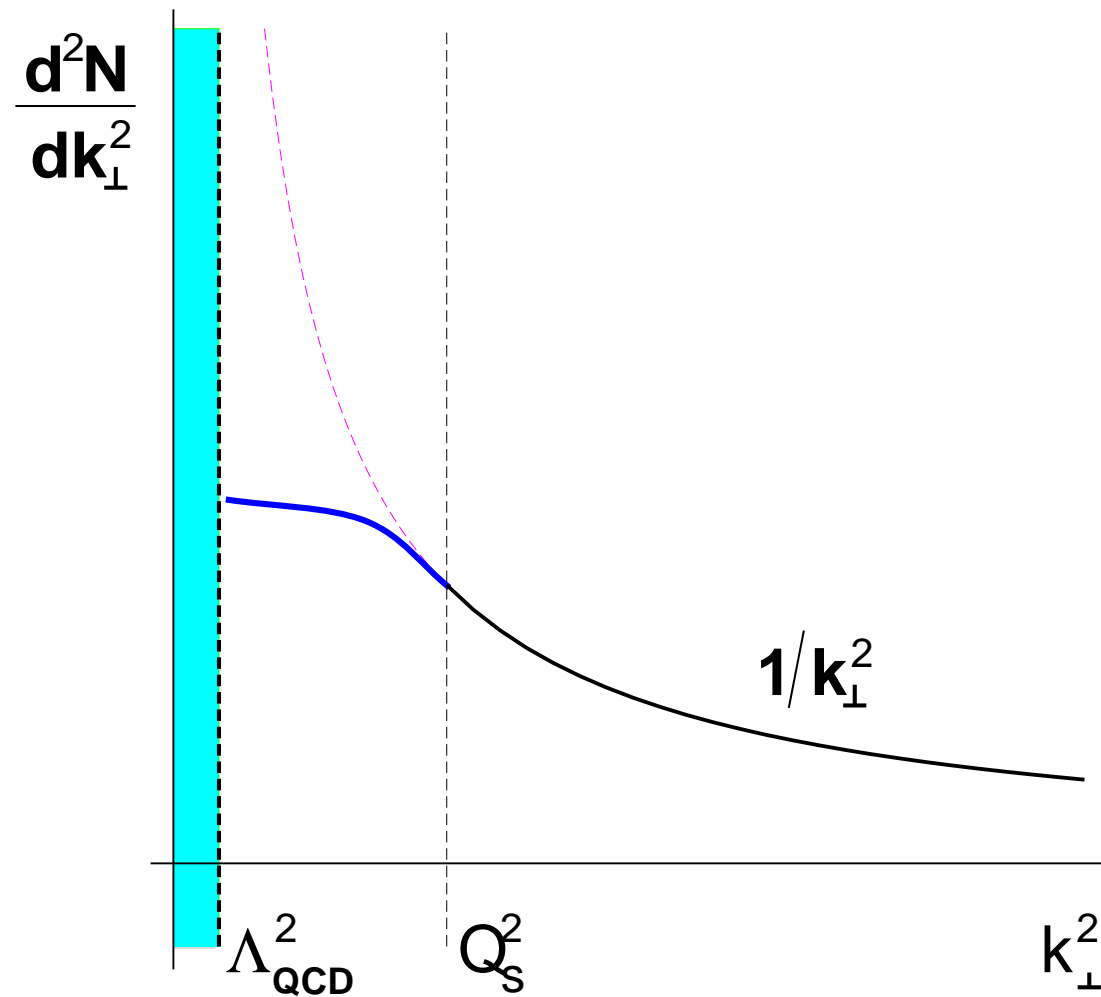
Amplituda oddziaływania dipola $N(x, r)$



- Skala saturacji: $R_s(x) \sim x^{0.15}$
- Skalowanie geometryczne: $N = N(r/R_s(x))$
- Nieliniowe równanie Balitskiego-Kovchegova:

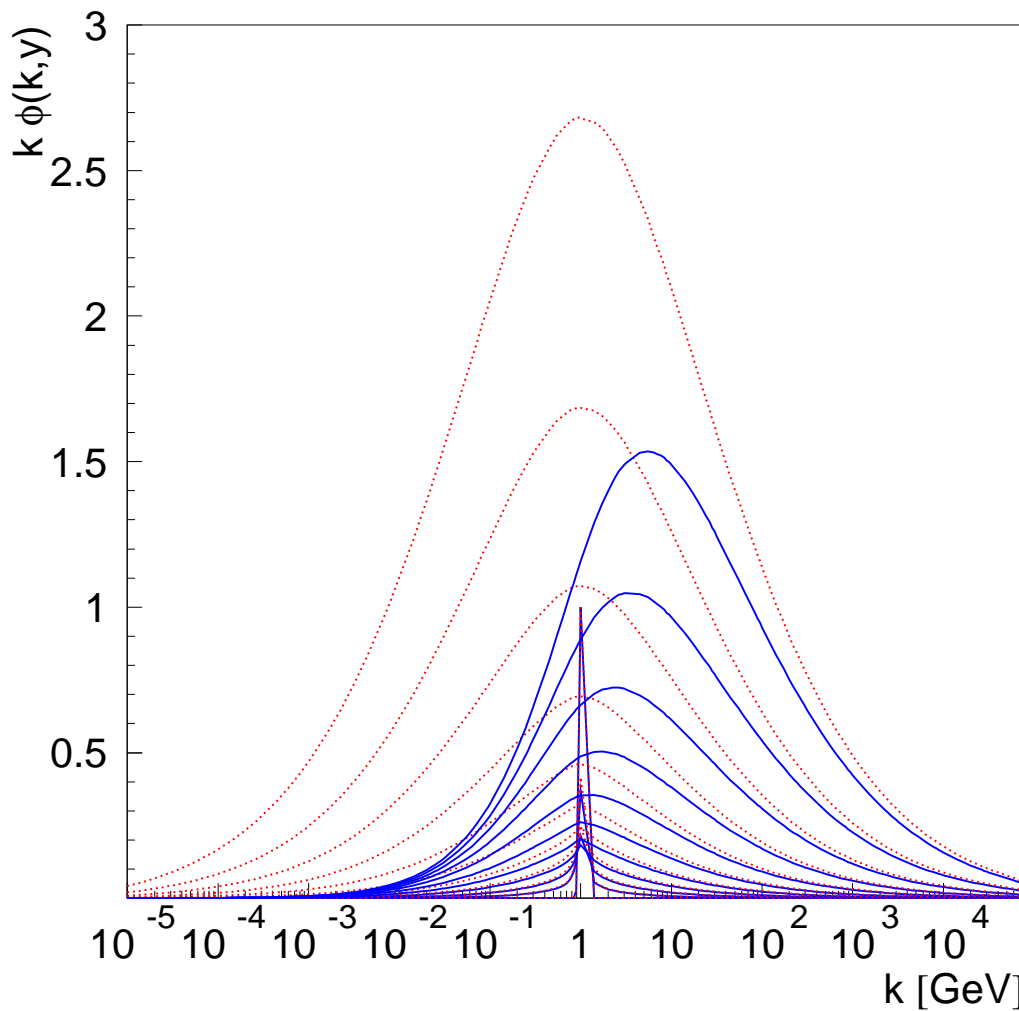
$$-\frac{\partial N}{\partial \ln x} = K \otimes N - N \otimes N$$

Saturacja rozkładu gluonów



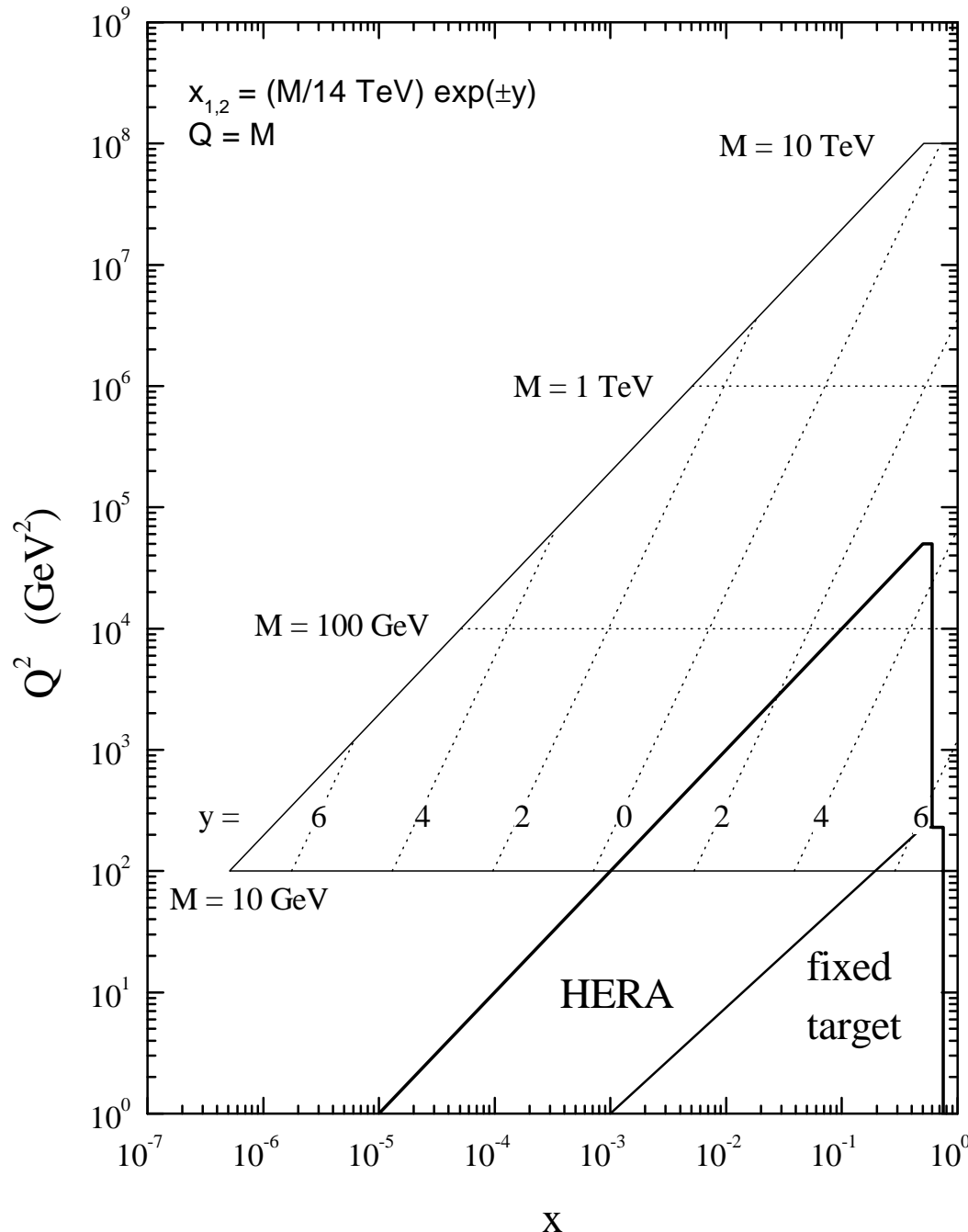
- Gęstość gluonów nasyca się dla $k_T < Q_s = 1/R_s$.

Saturacja rozkładu gluonów



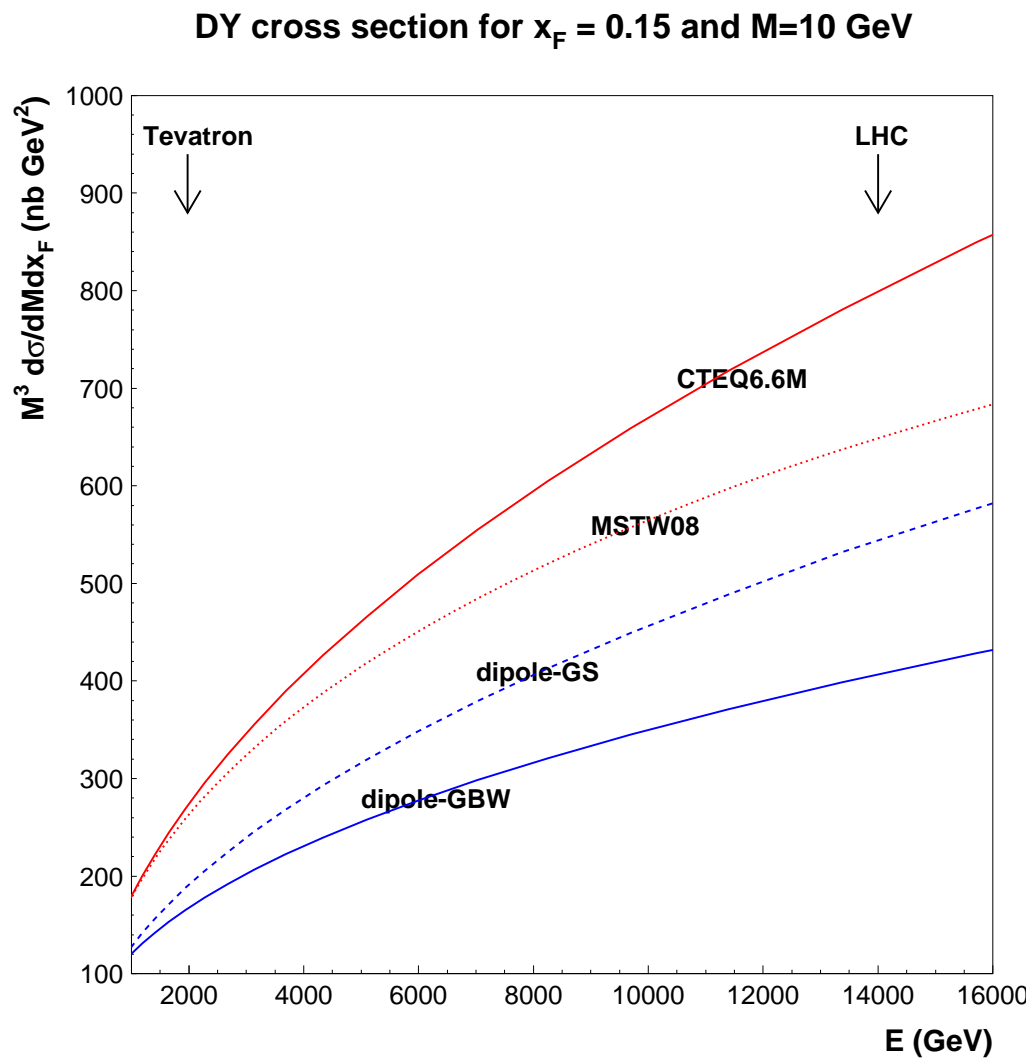
- Gęstość gluonów nasycza się dla $k_T < Q_s = 1/R_s$.

LHC parton kinematics



Dense QCD at LHC

- Produkcja par Drella-Yana dla małych M (*G-B, Lewandowska, Staśto, 2010*)



Zderzenia pp, pA i AA

- Gęstości gluonowe wzmacnione przez liczbę nukleonów A



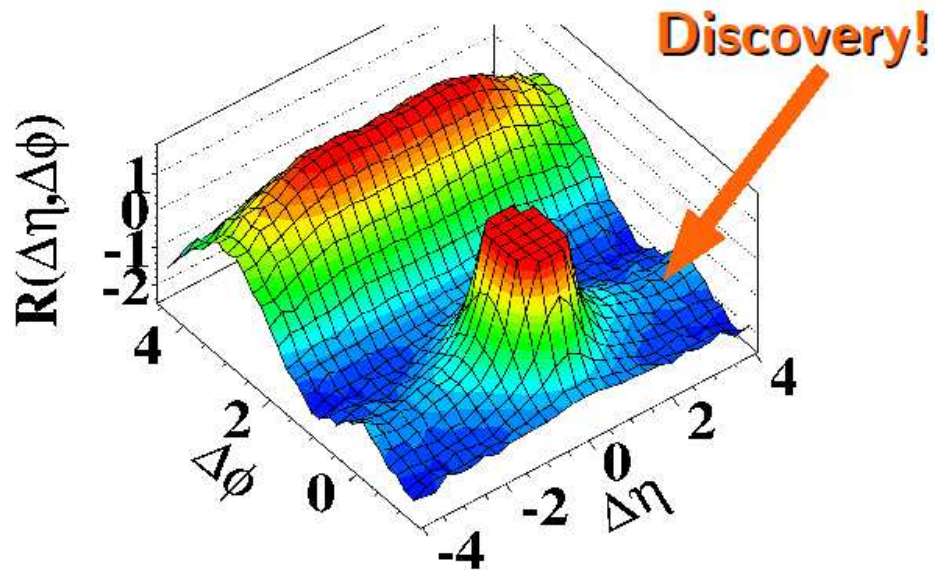
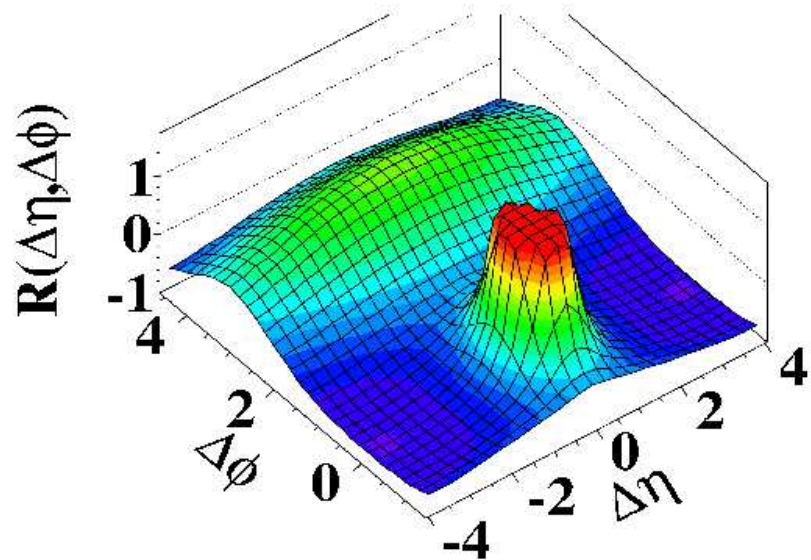
- Zderzenie dwóch **gęstych** kondensatów gluonowych.

Glazma \rightarrow plazma kwarkowo – gluonowa \rightarrow hadrony

- Efektywny opis QCD gęstych układów gluonowych - **glazmy**

(*Venugopalan, McLerran, Lappi*)

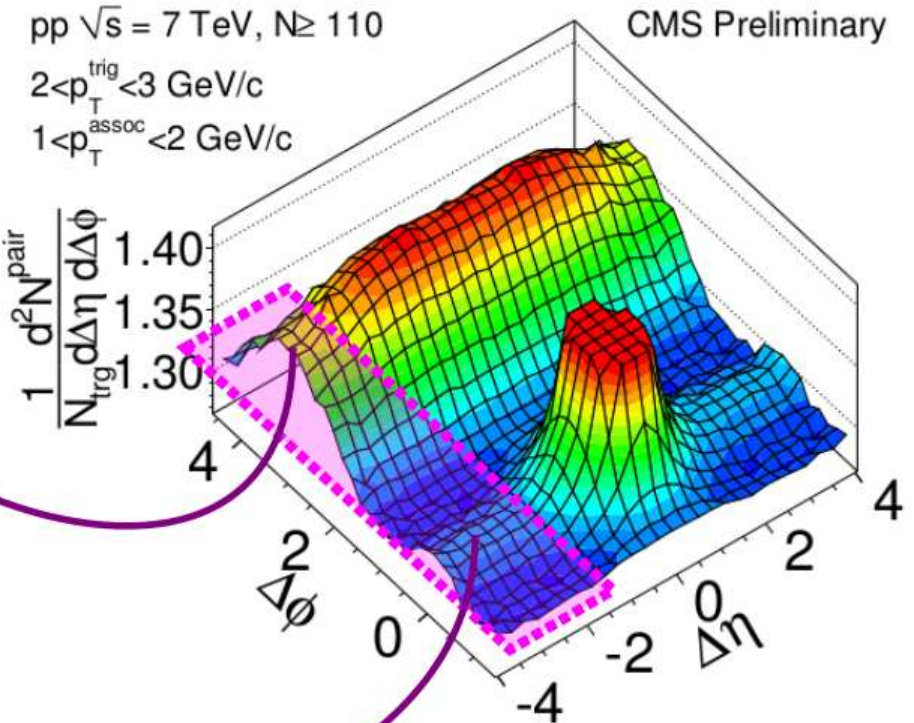
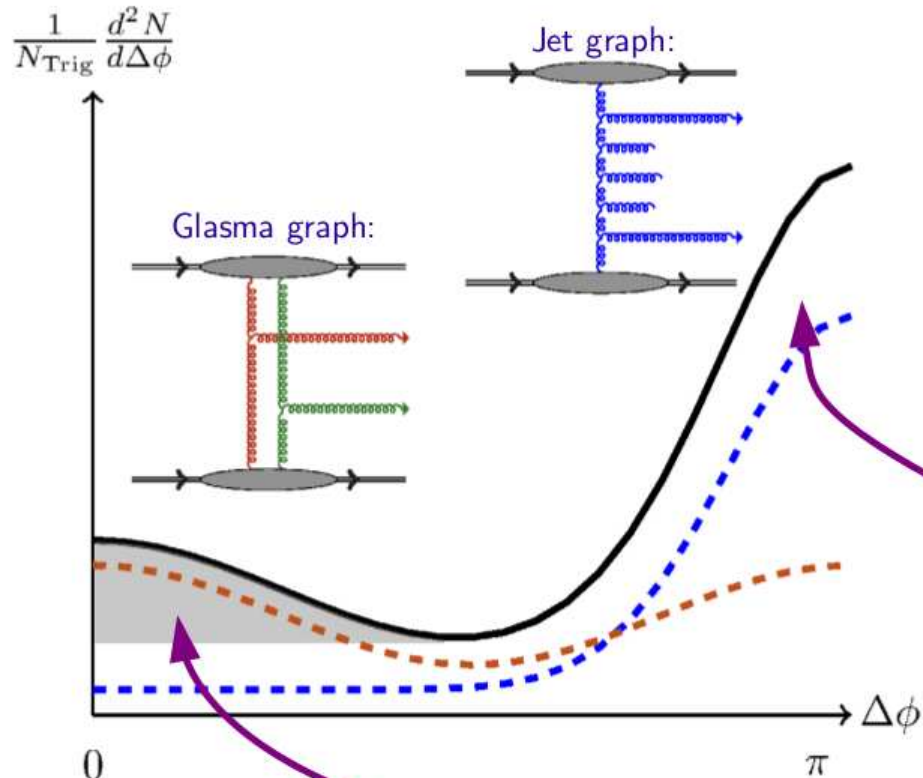
Grzbiet (ridge) w zderzeniach pp i pA



- Minimum bias versus high multiplicity events in pp from CMS:
 $N > 110, \quad 1 \text{ GeV}/c < p_T < 3 \text{ GeV}/c$
- W zderzeniach pA grzbiet znacznie większy.

Grzbiet (ridge) w zderzeniach pp i pA

(Dusling, Venugopalan)



- Grzbiet dla pA tłumaczony też przez model hydrodynamiczny ([P. Bożek](#))

Podsumowanie

- QCD dla dużych gestości partonowych istotna dla procesów DIS w zderzeniach $\text{e}p$:
 - funkcje struktury protonu w obszarze przejścia do małych Q^2
 - geometryczne skalowanie
 - procesy dyfrakcyjne
- Na LHC wciąż do potwierdzenia.